

## PAPER DETAILS

TITLE: Aktif ve pasif kaynaklı yüzey dalgası verileri kullanılarak yer etkisine dayalı mikrobölgelendirme: Gümüşhane örneği

AUTHORS: Yasemin Beker Usta, Nilgün Lütfiye Sayıl

PAGES: 639-653

ORIGINAL PDF URL: <https://dergipark.org.tr/tr/download/article-file/3655723>

## Aktif ve pasif kaynaklı yüzey dalgası verileri kullanılarak yer etkisine dayalı mikrobölgelendirme: Gümüşhane örneği

*Microzonation based on site effect using active and passive source surface waves data: The case of Gümüşhane*

Yasemin BEKER USTA<sup>1</sup> , Nilgün SAYIL<sup>2</sup> 

<sup>1</sup>Gümüşhane Üniversitesi, Mühendislik ve Doğa Bilimleri Fakültesi, Jeofizik Mühendisliği Bölümü, 29100, Gümüşhane

<sup>2</sup>Karadeniz Teknik Üniversitesi, Mühendislik Fakültesi, Jeofizik Mühendisliği Bölümü, 61080, Trabzon

• Geliş tarihi / Received: 12.01.2024

• Kabul tarihi / Accepted: 02.05.2024

### Öz

Gümüşhane ili, sismik aktivite açısından sakin bir bölge olmakla birlikte Kuzey Anadolu Fay Zonu'na (KAFZ) yakın olması sebebiyle deprem tehlikesi altındadır. Dolayısıyla, hızlı ve yoğun bir yapılaşma süreci içerisinde olan Gümüşhane ili merkez ilçesinde, yerel zemin etkilerinin ortaya çıkarılması büyük önem taşımaktadır. Bu amaçla, Yatay/Düşey Spektral Oran (HVSР) ve Çok Kanallı Yüzey Dalgası Analizi (MASW) uygulanarak yer etkilerinin tespitinde önemli parametreler olan baskın frekans/periyot, büyütme potansiyelini tanımlayan HVSР ve ilk 30 metreye ait ortalama S-dalgası hızı ( $V_{S30}$ ) hesaplanmıştır. Tek istasyonda toplanan mikrotremor verilerinden inceleme alanı için belirlenen baskın frekanslar 1.21-13.40 Hz, baskın periyotlar 0.07-0.82 sn, büyütme potansiyel değerleri 1.12-9.76 ve  $V_{S30}$  değerleri ise 300.2-677.2 m/sn arasında değişmektedir. Ayrıca hesaplanan  $V_{S30}$  değerleri kullanılarak inceleme alanı için TBDY (2018), NEHRP (2020) ve Eurocode-8 (2004)'e göre zemin sınıfları tanımlanmıştır. HVSР ve MASW yöntemlerinden elde edilen ölçüm parametreleri kullanılarak çalışma alanına ait baskın frekans, baskın periyot, büyütme potansiyel riski ve  $V_{S30}$  değerlerine ait mikrobölgelendirme haritaları oluşturulmuştur. Bu haritalara göre Gümüşhane ili merkez ilçesinde yüksek baskın frekans ve düşük baskın periyot bölgelerinin düşük büyütme potansiyeline ve yüksek  $V_{S30}$  değerlerine sahip olduğu görülmüştür. Bu çalışma ile Gümüşhane ili merkez ilçesi için farklı jeofizik yöntemlerden elde edilen zemin parametrelerinin birbirleriyle ve bölgenin jeolojik yapısıyla iyi bir uyum gösterdiği sonucuna varılmıştır.

**Anahtar kelimeler:** Çok kanallı yüzey dalgası analizi (MASW), Gümüşhane, HVSР, Mikrobölgelendirme, Mikrotremor, Yer etkisi

### Abstract

Although Gümüşhane province is a quiet region in terms of seismicity, it is under earthquake danger due to its proximity to the NAFZ. Therefore, it is of great importance to reveal the local site effects in the central district of Gümüşhane province, which is in a rapid and intense construction process. For this purpose, the predominant frequency (or period), horizontal to vertical spectral ratio (HVSР) defining the amplification potential and S-wave velocity ( $V_{S30}$ ) values, which are important parameters in the detection of site effects, were calculated by applying the HVSР and multichannel surface wave analysis (MASW). The predominant frequencies determined for the investigation area from microtremor data collected at a single station vary between 1.21-13.40 Hz, dominant periods between 0.07-0.82 sec, amplification potential values between 1.12-9.76 and  $V_{S30}$  values between 300.2-677.2 m/sec. Additionally, using the calculated  $V_{S30}$  values, soil classification was defined for the investigation area according to TBDY (2018), NEHRP (2020) and Eurocode-8 (2004). Using the measurement parameters obtained from HVSР and MASW methods, microzonation maps of the predominant frequency, predominant period, amplification potential risk and VS30 values of the study area were created. According to these maps, it was seen that the high predominant frequency and low predominant period regions in the central district of Gümüşhane province had low magnification potential and high  $V_{S30}$  values. With this study, it has been concluded that the ground parameters obtained from different geophysical methods for the central district of Gümüşhane province are in good harmony with each other and with the geological structure of the region. With this study, it has been concluded that the site effect parameters obtained from different geophysical methods for the central district of Gümüşhane province are in good harmony with each other and with the geological structure of the region.

**Keywords:** Multichannel analysis of surface waves (MASW), Gümüşhane, HVSР, Microzonation, Microtremor, Site effect

\*Yasemin BEKER USTA; yaseminbeker@gumushane.edu.tr

52

## 1. Giriş

53

### *1. Introduction*

54

Ülkemizde zamanla yapılaşmanın geliştiği alanlarda zemin karakteristiklerinin yapılar üzerinde oluşturacağı etkinin belirlenmesi çok büyük önem taşımaktadır. Çünkü, yeni yapılaşmanın gerçekleştirileceği veya yapılaşmanın yoğun olduğu alanlarda bu etkiden doğacak riskin afet öncesinde belirlenmesi gerekmektedir. Yer hareketinin zemin tabakalarından geçtikten sonra yeryüzüne ulaşmasına kadar olan süre içerisinde geçirmiş olduğu değişim yer etkisi olarak tanımlanmaktadır. Afetlerden kaynaklı can kaybı ve hasarların azaltılmasında yer etkisine bağlı dinamik zemin parametrelerinin ve yerin S-dalga hızının elde edilmesi çok önemlidir. Kentsel gelişim süreci kapsamında, arazi kullanımı için potansiyel tehlikenin belirlenmesine yönelik mikrobölgelendirme çalışmaları gerçekleştirilmelidir. Mikrobölgelendirme çalışmaları bir bölgedeki zemin-yapı arasındaki ilişki, heyelan/toprak kayması problemleri ve deprem tehlike parametrelerinin tespiti etkin bir biçimde yapılmaktadır. Afet öncesi ve sonrasında zemin davranışında meydana gelen değişim hakkında bilgi sahibi olmak için jeofizik araştırmalar yapılmaktadır. Mikrobölgelendirme çalışmalarında S-dalga hızı, zemin tabaka kalınlıkları, zemin baskın frekansı/periyodu, zemin büyütmesi ve dinamik/elastik parametreler hesaplanmaktadır.

55

Farklı jeofizik yöntemler kullanılarak kentsel gelişim alanlarında çok sayıda mikrobölgelendirme çalışması yapılmıştır ([Güzel, 2009](#); [Akin & Sayılı, 2016](#); [Ateş & Uyanık, 2019](#); [Akkaya & Özvan, 2019](#); [Keskinsezer & Dağ, 2019](#), [Caielli vd., 2020](#); [Fadli vd., 2023](#)). Bir sismik olayda kuvvetli yer hareketi ile zemin tabakasına ait baskın frekans değeri aynı olduğu zaman rezonans durumu meydana gelecektir. Bunun sonucunda zemin tabakası üzerinde kurulu olan yapılarda büyük hasarlar oluşacaktır. Bu sebeple yeni kuruluacak yerleşim alanlarında öncelikle zemin baskın frekansı/periyodu ve zemin büyütmesinin, kurulu olan yapılar için ise yapı baskın frekansının hesaplanması gerekmektedir ([Putti & Satyam, 2020](#)).

56

Uygun ve doğru mühendislik sismolojisi çalışmaları neticesinde zemin karakteristiğinin tanımlanmasıyla, deprem gibi yer hareketlerinin yerel etkilerinden korunmak mümkün olacaktır. Zemin ve mühendislik ana kayası boyunca S-dalgası hız (Vs) profillerinin elde edilmesi depreme dayanıklı yapı tasarım çalışmalarında ve imar planının geliştirilmesinde önem taşımaktadır. Bu nedenle, yerleşime uygunluk, afet risklerine karşı güvenli kentleşme ile yaşam kalitesi yüksek mekanların oluşturulmasına yönelik birçok çalışma yapılmıştır ([Tüdeş, 2001](#); [Akın, 2020](#); [Özdağ vd., 2020](#); [Öztürk vd., 2021](#); [Acar vd., 2022](#); [Güven, 2022](#); [Arrahman vd., 2023](#); [Chopra vd., 2023](#); [Wibowo vd., 2023](#); [Kim vd., 2024](#); [Pomsopin vd., 2024](#)).

57

Bu çalışma son yıllarda hızlı bir çalışma sürecinde olan Gümüşhane ili merkez ilçesinde temel jeofizik yöntemler ([Çok Kanallı Yüzey Dalgası Analizi](#), [Mikrotremor Araştırma Yöntemi](#), [MASW](#)) kullanılarak zemine ait jeofizik özelliklerin belirlenmesi ve farklı büyütme potansiyeline sahip alanların yerel zemin etkileri açısından değerlendirilmesi amacıyla gerçekleştirılmıştır. Ayrıca Gümüşhane ili Kuzey Anadolu Fay Zonu'na (KAFZ) oldukça yakın mesafede yer almaktadır. Dolayısıyla KAFZ üzerinde meydana gelebilecek herhangi bir depremden etkilenme potansiyeline sahip olduğu için Gümüşhane ili merkez ilçesine ait mikrobölgelendirme haritaları oluşturulmuştur.

58

## 2. İnceleme alanının jeolojisi ve depremselliği

59

### *2. The geology and seismicity of the investigation area*

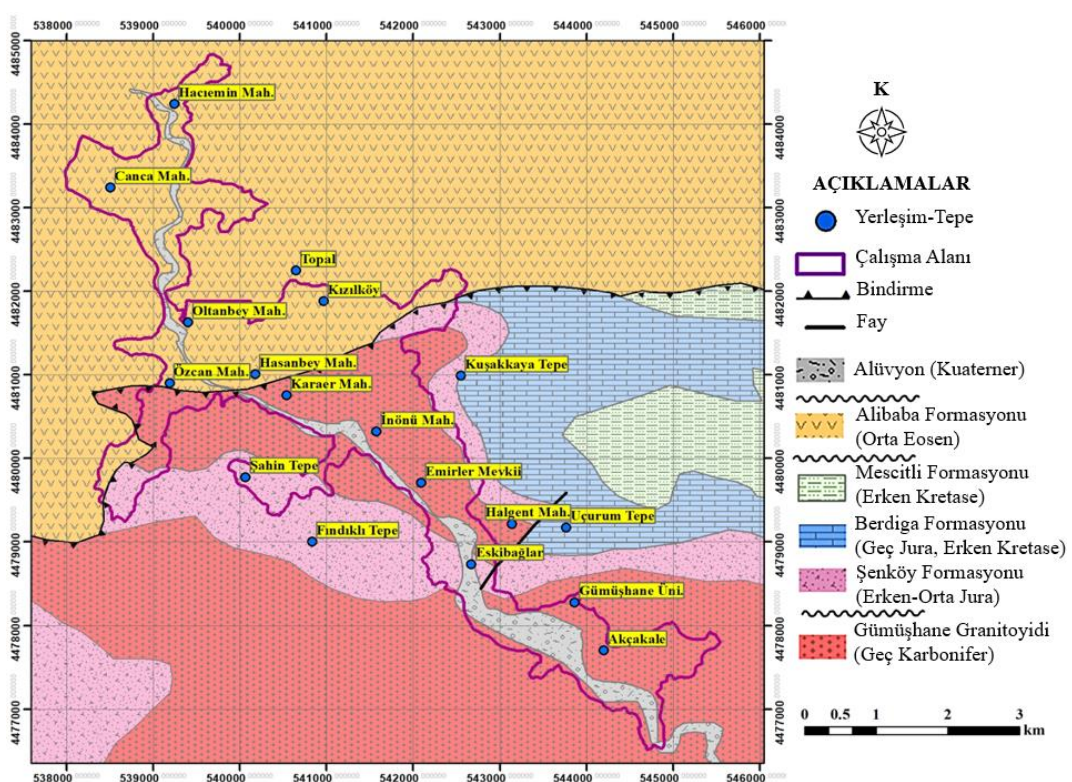
60

İnceleme alanı olarak seçilen, Gümüşhane İli Merkez ilçesi, dağlık ve engebeli bir arazi yapısına sahip olan, Doğu Karadeniz Bölgesinde bulunmaktadır ([Şekil 1](#)). Doğuda Bayburt, batıda Giresun, kuzeyde Trabzon ve güneyde Erzincan illeri ile komşu olan Gümüşhane  $38^{\circ}45'$ - $40^{\circ}12'$  doğu boylamları ve  $39^{\circ}45'$ - $40^{\circ}50'$  kuzey enlemleri arasında yer alır. Merkez ilçenin yüzölçümü  $6.668 \text{ km}^2$  ve deniz seviyesinden olan ortalama yüksekliği 1210 m'dir. Gümüşhane İl'inde yeryüzü şekilleri bakımından güney kesim yüksek bir plato özelliğine sahipken, çalışma alanı olan Merkez ilçesinin bulunduğu kuzey kesim oldukça engebelidir.

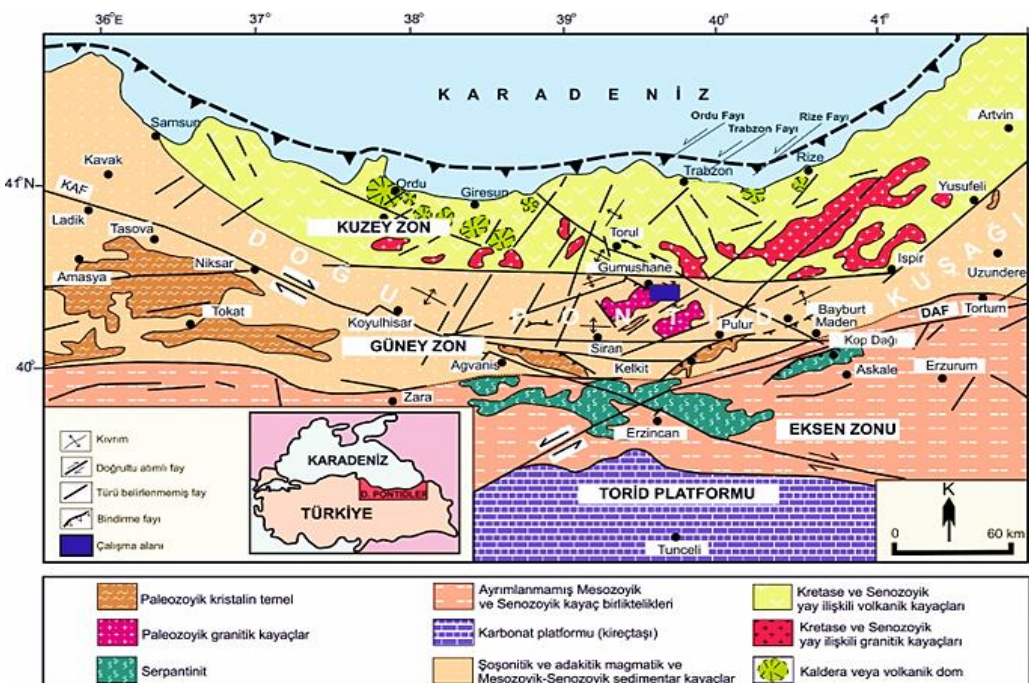
61

Gümüşhane İli, Pontid Orojenik Kuşağının doğusunda ve çoğulukla tortul kayaçların yüzeylenmiş olduğu Doğu Pontidler'in Güney Zonunda yer almaktadır. Gümüşhane Merkez ilçesinin yerleşim alanı ve yakın çevresinde Karbonifer ([Geç Palezoik](#))'den Eosen'e kadar uzanan aralıkta oluşmuş kayaçlar yüzeylenmektedir. İnceleme alanının temelini oluşturan karbonifer yaşılı Gümüşhane granitoyidi, en yaşlı birimdir ve Şenköy Formasyonu ([Kandemir, 2004](#)) üzerine uyumsuz olarak gelmektedir. Geç Jura-Erken Kretase yaşılı Berdiga Formasyonu uyumlu olarak Şenköy Formasyonunun üzerine gelir ([Pelin, 1977](#)). Bu

109 formasyon, gri-bej renkli, tümüyle kalın-yer yer masif katmanlı, dolomit ve dolomitik kireçtaşlarından oluşur.  
 110 Kırıntılı tortul malzemeli kireçtaşlarını içeren Mescitli Formasyonunun üzerine açısal uyumsuzlukla Eosen  
 111 yaşılı Alibaba Formasyonu gelmektedir (Tokel, 1972). Volkano-tortul istif özelliği taşıyan Alibaba formasyonu  
 112 çoğunlukla arazide ince bir taban konglomerasyyla başlamaktadır (Tüdeş, 2001). İnceleme alanındaki en genç  
 113 oluşuklar yaşılı alüvyon ve taraçalardır (Şekil 1).  
 114



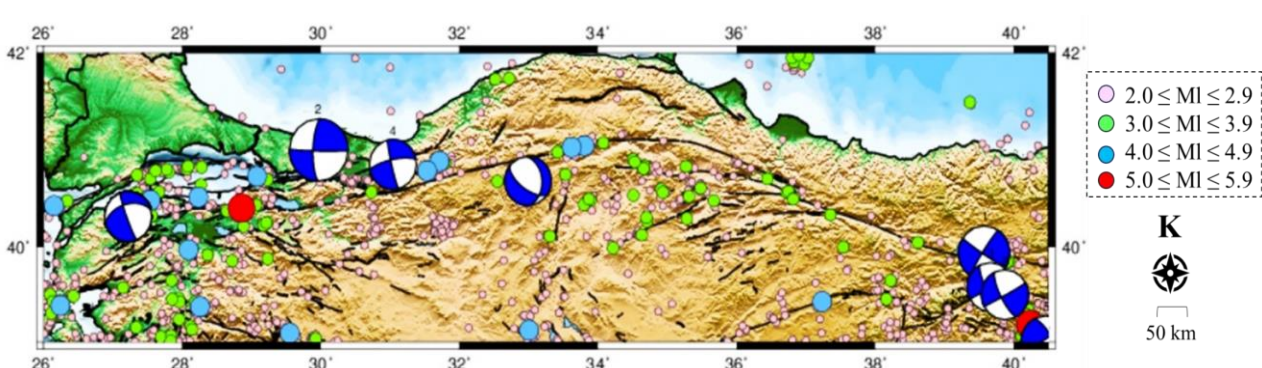
115  
 116 **Şekil 1.** İnceleme alanı ve yakın civarına ait jeoloji haritası (Güven, 1993'ten değiştirilerek alınmıştır)  
 117 **Figure 1.** Geology map of the investigation area and its surrounding (modified from Güven, 1993)  
 118  
 119  
 120



121  
 122 **Şekil 2.** Doğu Pontidlerin başlıca tektonik zonları ve birimleri (Alkan vd., 2019'dan düzenlenerek alınmıştır)  
 123 **Figure 2.** Main tectonic features and tectonic zones of the Eastern Pontides (modified from Alkan et al., 2019)  
 124

125 Doğu Pontidler, sedimentolojik, magmatik ve tektonik özelliklere bağlı olacak şekilde Bektaş ve Yılmaz  
 126 (1995) tarafından üç tektonik alt birime ayrılmıştır. Bu birimler, Kuzey Zon, Güney Zon ve Eksen Zonu'dur  
 127 (Şekil 2). Kuzey Zon, genel olarak Geç Kretase ve Tersiyer yaşı volkanik ve granitik kayaçlarla temsil  
 128 edilirken, Güney Zon ağırlıklı olarak Erken Jura yaşı tortul birimlerle temsil edilmektedir ([Dokuz, 2000](#);  
 129 [Dokuz & Tanyolu, 2006](#)). Eksen Zonu ise Jura-Kretase yaşı ofiyolitik-olistostromal melanj ve çoğunlukla  
 130 ultramafik küteler ile karakterize edilmektedir ([Eyüboğlu vd., 2010](#)).  
 131

132 Gümüşhane ve yakın civarının depremselliği göz önüne alındığında, konumu itibarıyla buradaki kıvrım  
 133 tektoniğinin ve kırık sistemlerinin etkili olduğu söylenebilmektedir. KAFZ'a yakın olan bölgelerdeki kırık  
 134 zonları normal, ters ve doğrultu atımlı faylardan meydana gelmektedir. Buna karşın kıvrımlı yapılar asimetrik  
 135 antiklinal ve senklinallerden oluşmaktadır ([Taş vd., 2003](#)). Ülkemizin en aktif fay zonlarından biri olan  
 136 KAFZ'nun Gümüşhane'ye olan uzaklığı yaklaşık 80 km'dir. Son yıllarda hızlı bir yapışma sürecine girmiş  
 137 olan şehirde, yüksek katlı binalar çoğulukla Harşit Çayı boyunca inşa edilmiş ve yoğun yerleşimler özellikle  
 138 bu kısımlarda yer almaktadır. Harşit Çayı boyunca zeminin jeolojik yapısına bakıldığından, buralarda altıvyonal  
 139 birim hakimdir. Dolayısıyla, Gümüşhane ili hem KAFZ'a olan yakınlığı hem de gevşek zemin karakteristiğine  
 140 sahip alanlardaki yoğun yerleşimlere sahip olması bakımından büyük ( $M>6.0$ ) ve yıkıcı nitelikteki bir  
 141 depremden etkilenebilecek potansiyelidir (Şekil 3, Tablo 1). Ayrıca Gümüşhane İli'nin Kelkit ilçesinde 17  
 142 Aralık 2023 tarihinde 4.3 ve 18 Aralık 2023 tarihinde 3.9 büyüklüğünde art arda iki deprem meydana gelmiştir.  
 143



144 **Şekil 3.** 1976-2023 yıllarında KAFZ ve çevresinde meydana gelen deprem aktivitesi ([USGS, 2024](#)) ile büyük  
 145 depremlerin ( $M>6.0$ ) odak mekanizma çözümleri ([GCMT, 2024](#))

146 **Figure 3.** Earthquake activity ([USGS, 2024](#)) focal mechanism solutions of major earthquakes ( $M>6.0$ ) along  
 147 the NAFZ and surrounding region for the period of 1976–2023 ([GCMT, 2024](#))

148 **Tablo 1.** Şekil 3'te odak mekanizması çözümleri verilen büyük depremlerin ( $M>6.0$ ) listesi ([KOERİ, 2024](#))  
 149 **Table 1.** List of major earthquakes ( $M>6.0$ ) whose focal mechanism solutions are given in figure 3 ([KOERİ,  
 150 2024](#))

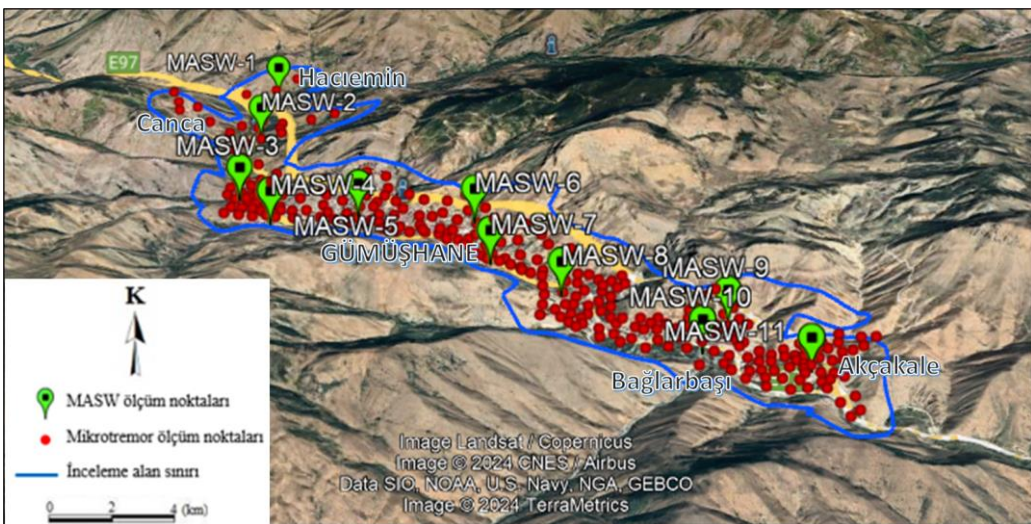
Tarih (Gün.Ay.Yıl)	Enlem (°K)	Boylam (°D)	Magnitüd (M)	Odak derinliği (h, km)
05.07.1983	40.32	27.22	6.1	10
13.03.1992	39.94	39.57	6.6	15
17.08.1999	41.01	29.92	7.6	17
12.11.1999	39.58	39.66	6.0	15
06.06.2000	40.69	32.99	6.0	10
27.01.2003	39.50	39.87	6.1	10
01.05.2003	39.00	40.46	6.4	10
23.11.2022	40.86	31.04	6.1	12

### 155 **3. Materyal ve yöntem**

156 *3. Material and method*

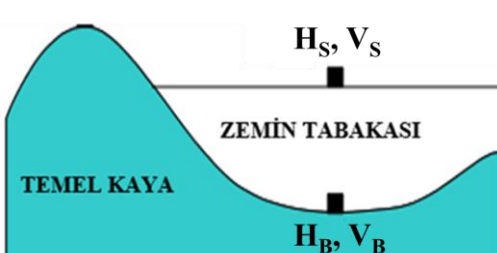
157 Gümüşhane ili merkez ilçesinde yerel zemin karakteristiklerinin belirlenmesine yönelik yapılan bu çalışmada  
 158 Yatay/Düsey Spektral Oran (HVSR) ve MASW uygulanmıştır. Yaklaşık 7 km<sup>2</sup>'lik bir alana sahip olan merkez  
 159 160

161 ilçesinde, 279 tek istasyonda alınan mikrotremor ölçüm noktalarını temsil edecek şekilde ve farklı jeolojik  
 162 birimler üzerinde 11 adet MASW ölçümü gerçekleştirılmıştır (Şekil 4).  
 163



164  
 165  
 166 **Şekil 4.** İnceleme alanındaki ölçüm noktalarının konumları  
 167 *Figure 4. Locations of measurement points in the investigation area*

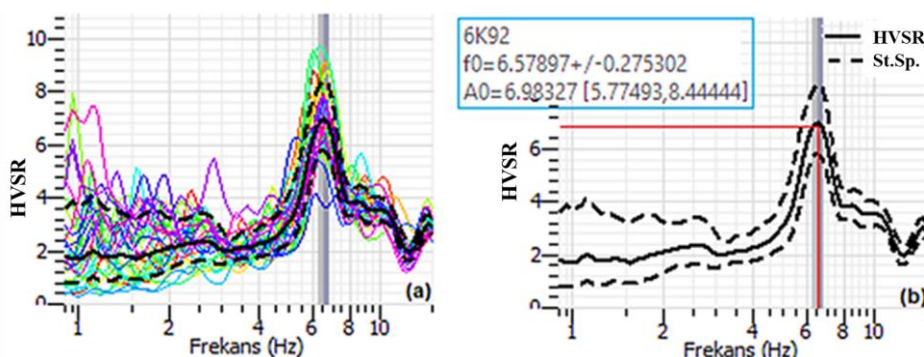
169 Tek istasyon mikrotremor ölçümleri Güralp marka CMG-6TD sayısal çıkışlı portatif üç bileşenli (doğu-batı,  
 170 kuzey-güney ve düşey) hız ölçer sismometre kullanılarak alınmıştır. Ölçüm noktaları arasındaki mesafeler  
 171 sabit olmayıp (100-400 m), konumları yerleşim düzenebine ve arazi yapısına uyumlu olacak şekilde seçilmiştir.  
 172 Ayrıca gündüz kültürel gürültülerin yoğun olması sebebiyle daha sağlıklı kayıtlar elde edebilmek için tüm  
 173 ölçümler gece saatlerinde (23:00-03:00) alınmıştır. Verilerin kayıt süreleri 15-35 dk arasında olup,  
 174 ölçümlerdeki örneklemme aralığı 100 Hz'dır. Elde edilen kayıtlar "Geopsy" ([Geopsy, 2022](#)) programı ile  
 175 Yatay/Düşey Spektral Oran (Nakamura Tekniği, HVSR) yöntemi kullanılarak değerlendirilmiştir. Nakamura  
 176 (1989)'a göre mikrotremorlar derinden değil, yüzeyden ve yüzeye yakın noktalardan gelen titreşimlerdir.  
 177 Nakamura (1989) teknığının temel varsayıma göre mikrotremorların yatay bileşenleri zemin tabakasının  
 178 sahip olduğu düşük hız ve yoğunluğa bağlı olarak önemli büyütülmelerde uğrarken, düşey bileşen zemin  
 179 tabakasından etkilenmemektedir. Bu teknik, mikrotremorları Rayleigh dalgaları ile açıklamıştır. Fourier  
 180 frekans bölgesinde zemin tabakasının yüzeyi ile tabanındaki yatay ve düşey bileşenlere ait dört adet genlik  
 181 spektrumu (Y<sub>s</sub>, D<sub>s</sub>, Y<sub>b</sub>, D<sub>b</sub>) tanımlanmıştır (Şekil 5).  
 182



183  
 184  
 185 **Şekil 5.** Nakamura (1989) tarafından önerilen basit model ( $H_s$  ve  $V_s$ , yüzeydeki hareketin yatay ve düşey  
 186 bileşen genlik spektrumları,  $H_b$  ve  $V_b$  tabandaki hareketin yatay ve düşey genlik spektrumları)  
 187 *Figure 5. Simple model proposed by Nakamura (1989)* ( $H_s$  and  $V_s$  are horizontal and vertical component  
 188 amplitude spectra of motion on the surface,  $H_b$  and  $V_b$  are the horizontal and vertical amplitude spectra of the  
 189 motion on the basement)

190 Mikrotremor kaydının her bir bileşeni için ilk olarak ani genlik değişimlerinden kaynaklı trend etkileri  
 191 giderilmiştir. Daha sonra mikrotremor kayıtlarındaki çok düşük ve yüksek frekanslardaki gürültüleri atmak  
 192 için 0.5-20 Hz band geçişli Butterworth süzgeç uygulanmıştır. Çözümlemede kullanılacak pencere boyu için  
 193 farklı pencere boyları (10, 20, 25, 40 sn) Sesame kriterlerine ([SESAME, 2005](#)) göre denenmiş ve en uygun  
 194 pencere boyunun 20 sn olduğu belirlenmiştir. Zaman ortamındaki veriye Kosinüs penceresi %5 oranında  
 195 uygulanarak oluşturacak enerji sızması engellenmiştir. Daha sonra zaman ortamındaki verinin Fourier dönüşümü  
 196

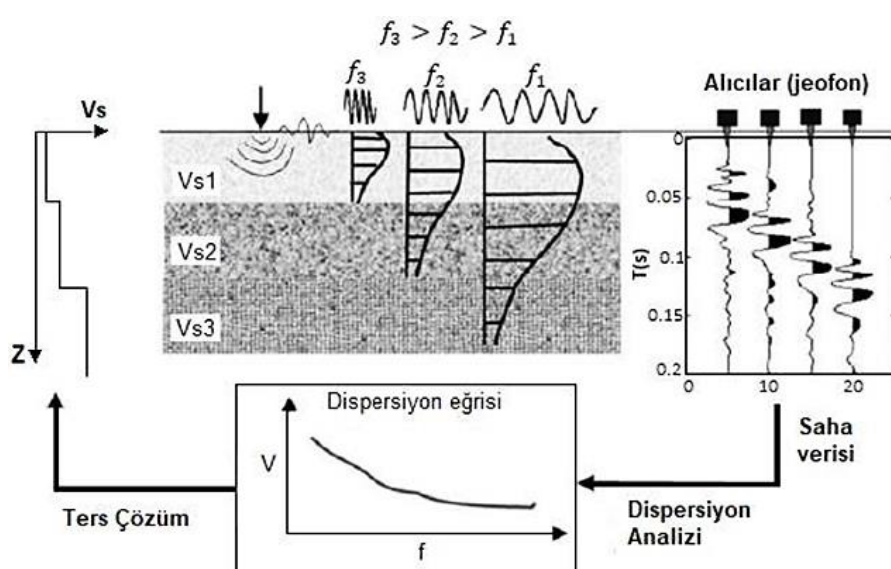
ile frekans ortamında üç bileşen genlik spektrumları hesaplanmıştır. Elde edilen yatay bileşenlerin genlik spektrumlarından (doğu-batı ve kuzey-güney) karekök ortalama ile tek bir ortalama yatay bileşen genlik spektrumu hesaplanmış ve bu ortalama yatay bileşen genlik spektrumu düşey bileşen genlik spektrumuna oranlanarak ölçüm noktası için HVSR eğrisi elde edilmiştir. Böylece HVSR eğrisi üzerinden maksimum pike karşılık gelen baskın frekans ( $f_0$ ) değeri ve o nokta için olan büyütme potansiyeli belirlenmiştir (Şekil 6).



Şekil 6. (a) HVSR spektral oran eğrisi. (b) HVSR eğrisi üzerinde belirlenen baskın frekans ( $f_0$ ) ve büyütme potansiyeli ( $A_0$ )

*Figure 6. (a) The HVSR curve. (b) predominant frequency ( $f_0$ ) and amplification potential ( $A_0$ ) on HVSR curve*

MASW yönteminin temeli, yüzey dalgalarının dispersif özelliğinden yararlanarak tabakalı yeraltı için 1-boyutlu S-dalgası hız profillerinin elde edilmesine dayanmaktadır. Tahribatsız sismik yöntemlerden biri olan MASW, kolay uygulanabilir bir arazi düzeneği ve balyoz gibi basit bir kaynak ile güçlü yüzey dalgası enerjisi üretebilmektedir. Veri işlemde, uygulama adımları oldukça basittir ve işleme parametreleri güvenilir biçimde seçilebilmektedir. Ayrıca, farklı türde yüzeye yakın anomalilere en etkili cevabı yüzey dalgaları vermektedir (Park vd., 1999). MASW, üç aşamada uygulanmaktadır. Bunlar veri toplama, dispersiyon eğrisinin hesaplanması ve ters çözüm ile hız profiline elde edilmesidir (Şekil 7). Arazide veri toplama düzeneği sismik kırılma yöntemi ile aynıdır, sadece veri toplamada farklı parametreler seçilir ve sismik kırılmaya göre daha fazla avantaj sağlar (Xia vd., 1999; Miller vd., 1999). MASW'de kolaylıkla yüksek sinyal/gürültü oranı elde edilebilmektedir. Ölçümlerdeki serim boyu, alıcılar arası mesafe ve ilk alıcıya olan uzaklığı, ulaşımak istenen araştırma derinliği ile dispersiyon eğrisinin elde edilmesini etkileyen parametrelerdir.

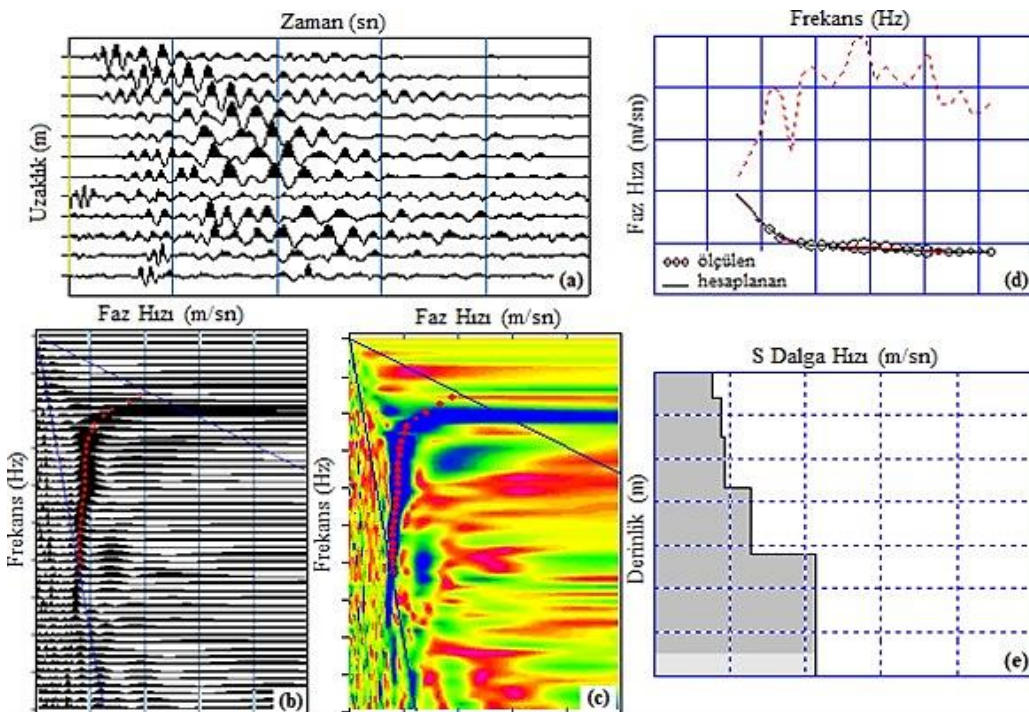


Şekil 7. MASW'nin veri işlem şeması (Dikmen, 2009)

*Figure 7. Data processing scheme of MASW (Dikmen, 2009)*

İnceleme alanındaki her bir farklı jeolojik birimlerdeki 30 metre derinliğe kadar olan ortalama S-dalgası hız ( $V_{S30}$ ) değerini belirlemek amacıyla Seisronix RAS-24 marka, 12 kanallı sismograf, kaynak olarak 10 kg

229 ağırlığında balyoz ve 4.5 Hz'lik düşey alıcılar kullanılmıştır. Her bir profildeki serim boyu 75 m'dir. Ofset  
 230 mesafesi 10 m ve alıcılar arası mesafe de 5 m olarak ayarlanmıştır. Kayıtlarda örneklemme aralığı 0.5 msn ve  
 231 kayıt süresi 1 sn'dır. Ayrıca düz ve ters atışlarda sinyal/gürültü oranını artırmak amacıyla ölçümler 3'er adet  
 232 yiğma işlemi yapılarak alınmıştır. Toplamda 11 profilden elde edilen MASW kayıtlarının  
 233 değerlendirmesinde SeisImager/Pickwin yazılımı kullanılmıştır ([SeisImager, 2022](#)). Verilerin ilk  
 234 değerlendirme aşaması, faz kayması tekniğinin kullanılmasıyla frekans-faz hızı ilişkisi ile başlamaktadır  
 235 ([Park vd., 1999](#)). Bu ilişki grafiğinde maksimum genliklere karşılık gelen temel mod piklenmiştir. Sönümlü  
 236 en küçük kareler yaklaşımı ile ters çözüm işlemi gerçekleştirilerek, ölçülen ve hesaplanan dispersiyon  
 237 eğrilerinin çakışması sağlanmıştır. Bu şekilde her bir profil için derinliğe bağlı 1 boyutlu S-dalgası hız profili  
 238 elde edilmiştir (Şekil 8).  
 239



240  
 241  
 242 **Şekil 8.** (a) MASW verisi. (b) en büyük genliklerin piklenmesi. (c) en büyük genliklerin renklendirilmesi. (d)  
 243 ölçülen ve hesaplanan dispersiyon eğrilerinin çakışması. (e) 1-boyutlu S dalgası hız profili  
 244  
 245 **Figure 8.** (a) MASW data. (b) peaking of maximum amplitudes (c) coloring of maximum amplitudes. (d)  
 246 matching of measured and calculated dispersion curves. (e) 1-dimensional S wave velocity profile

#### 247 4. Bulgular

##### 248 4. Results

249

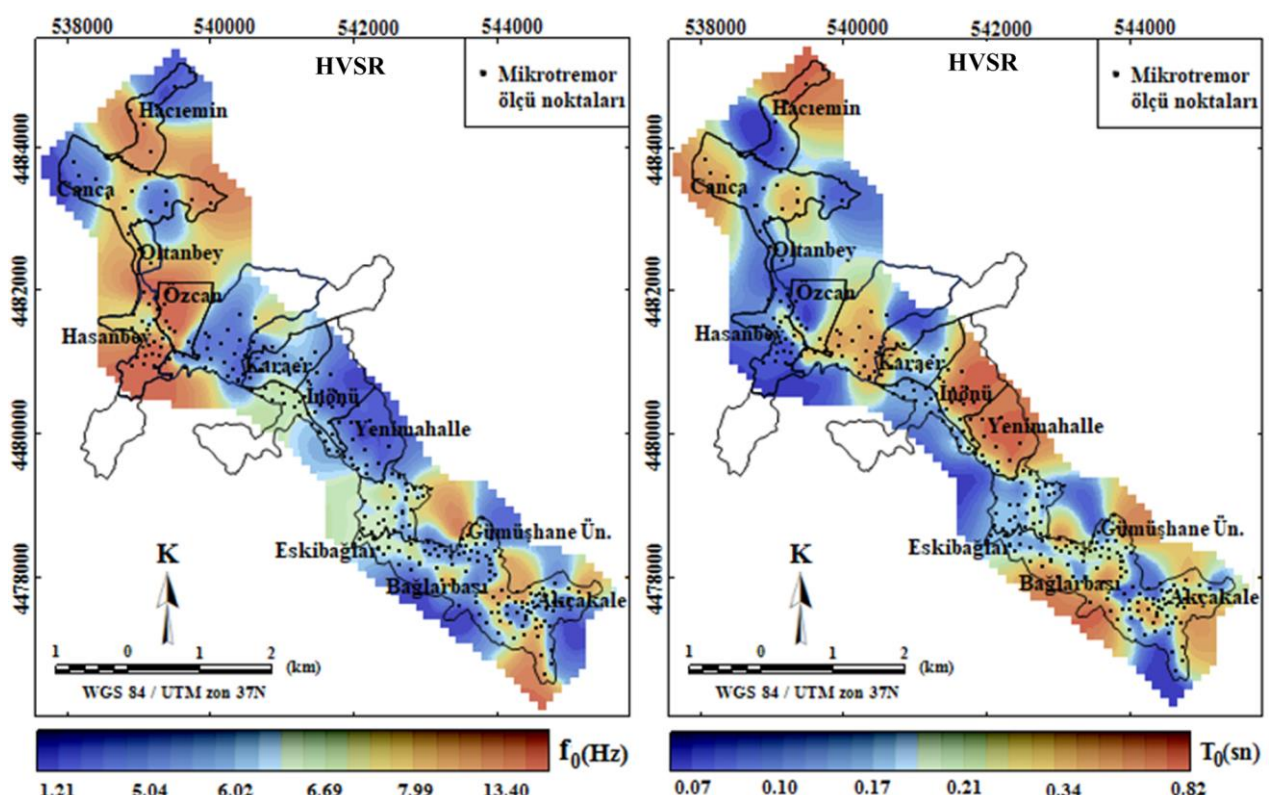
#### 250 4.1. Tek istasyon mikrotremor ölçümleri

##### 251 4.1. Single station microtremor measurement results

252

253 HVSR teknigine göre değerlendirilen 279 istasyondaki mikrotremor kayıtlarından Gümüşhane ili merkez  
 254 ilçesine ait baskın frekans değerleri ( $f_0$ ) ile büyütme potansiyeli ( $A_0$ ) belirlenmiştir. İnceleme alanı için  
 255 HVSR'den elde edilen baskın frekans değerleri 1.21-13.40 Hz arasında ve baskın periyot değerleri de 0.07-  
 256 0.82 sn aralığında değişmektedir (Şekil 9). Merkez ilçe için oluşturulan baskın frekans dağılım haritasına  
 257 bakıldığından, çoğunlukla kuzey-batı kesiminde yüksek baskın frekans (6.02-13.40 Hz) değerlerinin olduğu  
 258 görülmektedir. Buna göre en yüksek baskın frekans değerlerinin bulunduğu alanlar için Hasanbey, Oltanbey  
 259 ve Özcan mahalleleri gösterilebilir. Bununla birlikte inceleme alanının kuzey-doğu kesiminde Gümüşhane  
 260 granitoyidi üzerinde yer alan Bağlarbaşı ve Akçakale mahallelerinde yine yüksek baskın frekanslar etkin  
 261 durumdayken, Harşit nehri boyunca alüvyon biriminden (İnönü mahallesi ve Yenimahalle) elde edilen baskın  
 262 frekanslar oldukça düşük değerler sergilemektedir (1.21-6.02 Hz).

263



264

265

Şekil 9. HVSR eğrilerinden elde edilen inceleme alanına ait baskın frekans(sol) ve periyot (sağ) dağılım haritası

*Figure 9. Predominant frequency (left) and period (right) distribution map of the investigation area obtained from HVSR curves*

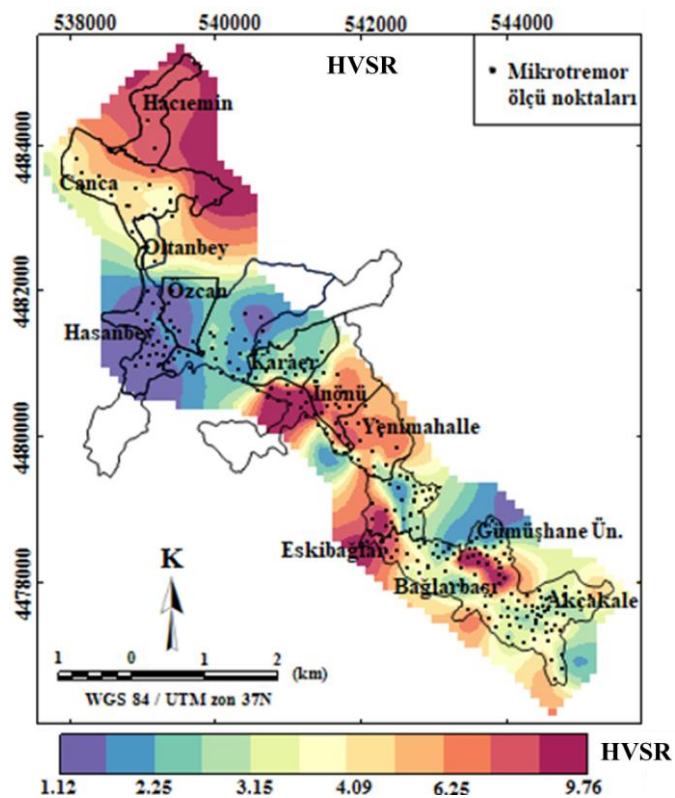
266

267

268

269

270



271

272

Şekil 10. HVSR eğrilerinden elde edilen inceleme alanına ait büyütme potansiyellerinin dağılım haritası

*Figure 10. Distribution map of amplification potentials of the investigation area obtained from HVSR curves*

273

274

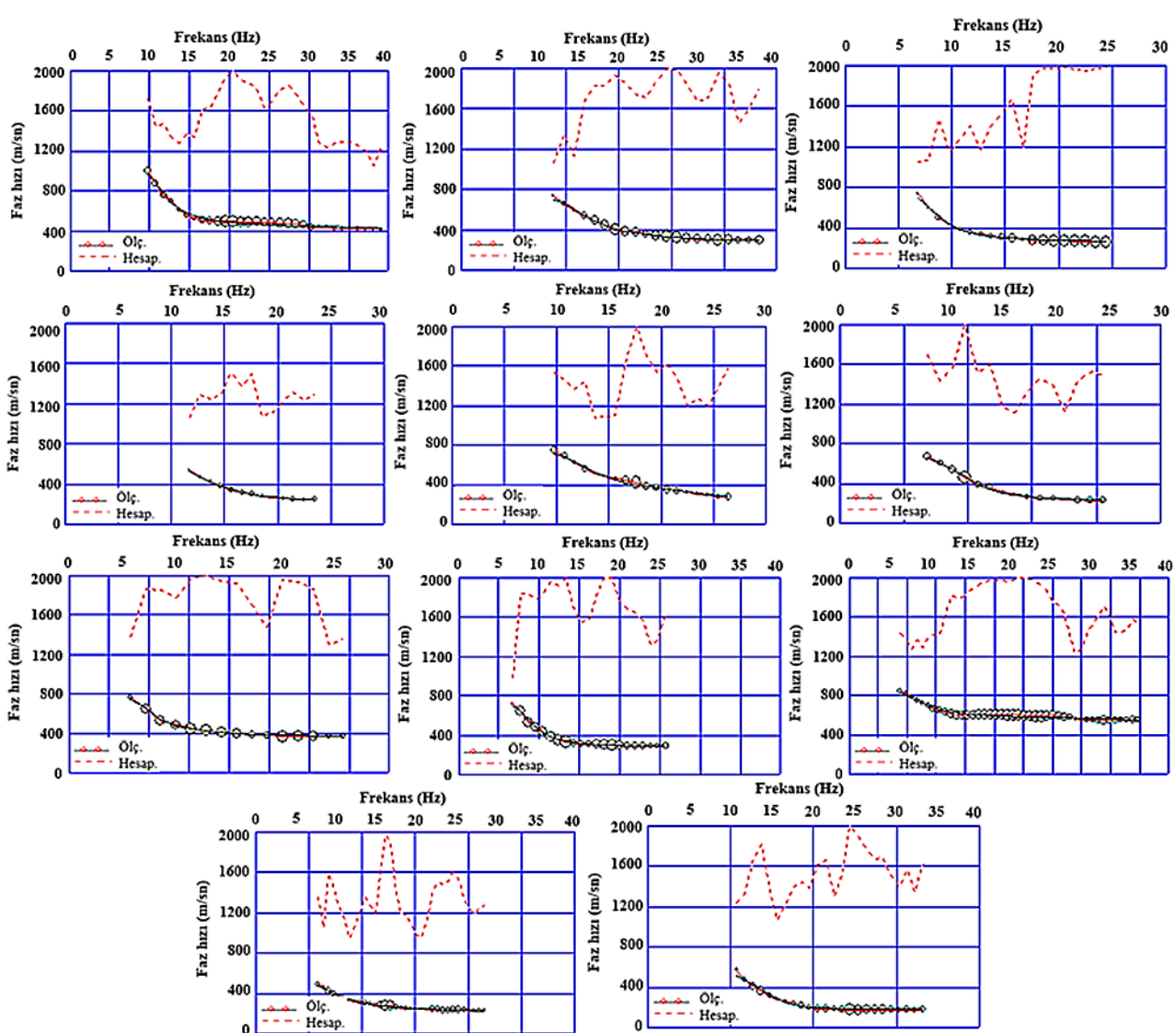
275

Harşit nehri boyunca yüksek katlı binaların olduğu kısımlarda büyütme potansiyelleri, granitik kayaçlara oranla çok daha fazladır. Eskibağlarbaşı mahallesinde bulunan yeni Gümüşhane Devlet hastanesinin bulunduğu alanda büyütme potansiyelleri en yüksek seviyelere sahiptir. Ayrıca Hacıemir ve Canca mahallelerinde yüksek baskın frekanslar gözlemlenirken, bu bölgelerdeki üst zemin tabakasının kumlu-çaklılı, az kumlu çaklılı silt ve kırıkçı parçalı bazaltlardan oluşmuş olması düşük büyütme potansiyeli sergilemesine sebep olmaktadır. Gümüşhane granitoyidi üzerinde bulunan Bağlarbaşı mahallesinde en düşük seviyelerden en yüksek seviyelere varan büyütme potansiyelleri gözlenmiştir. Bunun nedeni, kırıkçı parçalı granitik özellikte olan Gümüşhane granitoyidinin farklı ayrışma derecelerine sahip olmasıdır (Tüdeş, 2001). Elde edilen mikrotremor kayıtları neticesinde, inceleme alanı içerisindeki en sağlam zemin özelliğine sahip yer Hasanbey mahallesi olarak değerlendirilmiştir. Burada baskın frekanslar en yüksek değerlere sahipken, Y/D spektral oran değerleri en düşük seviyelerdedir. Dolayısıyla yüksek frekans değeri ve düşük büyütme potansiyeline sahip bu mahalle, merkez ilçe içerisindeki en sağlam bölge olarak değerlendirilebilir.

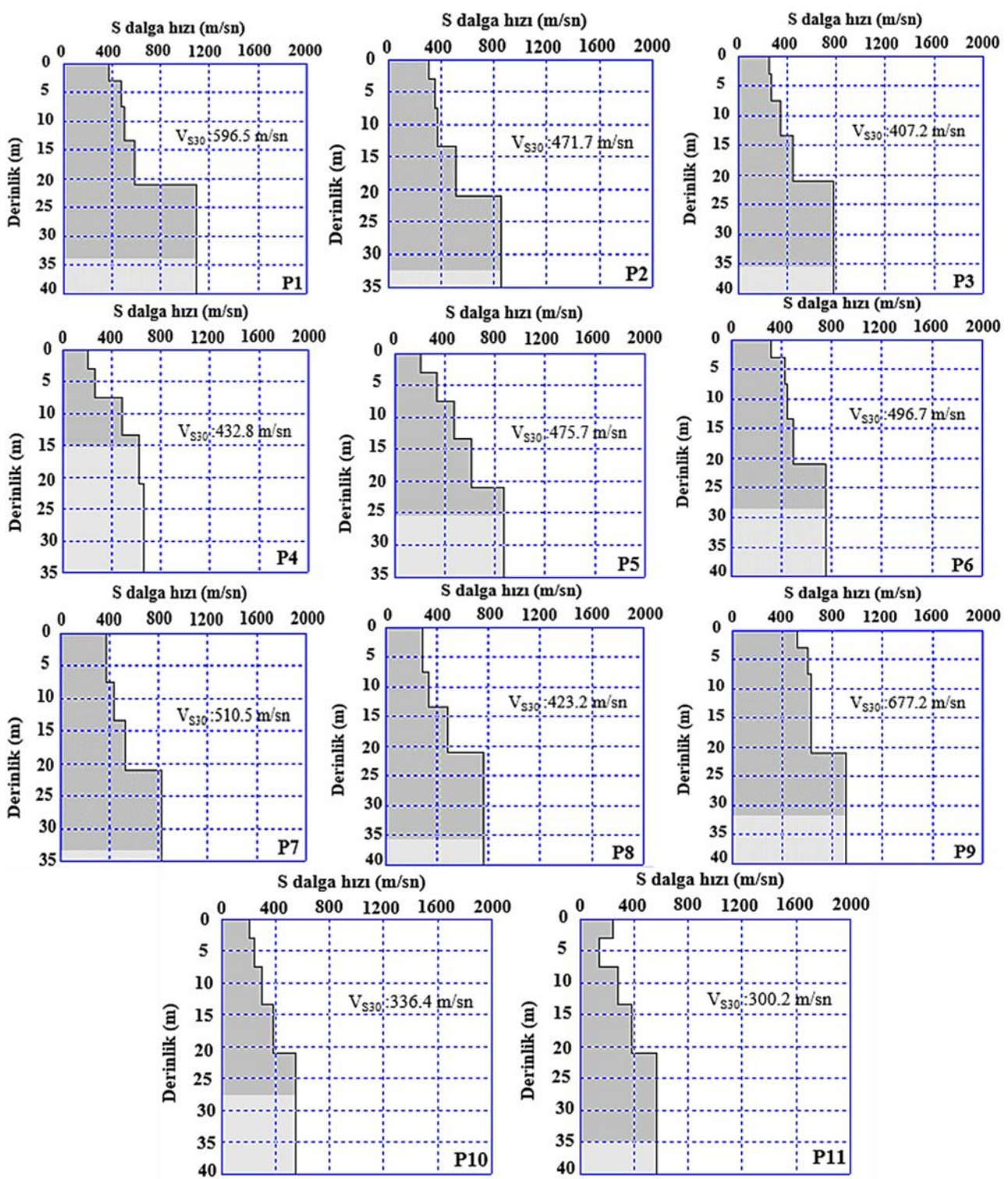
## 4.2. MASW ölçümleri

### 4.2. MASW measurements

MASW verilerinin çözümlenmesiyle her bir profil için ölçülen ve hesaplanan dispersiyon eğrileri elde edilmiştir (Şekil 11). Sönümlü en küçük kareler yaklaşımı kullanılarak bu dispersiyon eğrilerinin ters çözümünden her bir profil için hız modeli oluşturulmuştur (Şekil 12).



Şekil 11. MASW profillerine ait ölçülen ve hesaplanan dispersiyon eğrileri  
Figure 11. Measured and estimated dispersion curves of MASW profiles



300

301

302 **Şekil 12.** Her bir profile ait 1B hız modelleri ve  $V_{S30}$  değerleri303 *Figure 12. 1D Velocity models and  $V_{S30}$  values of each profile*

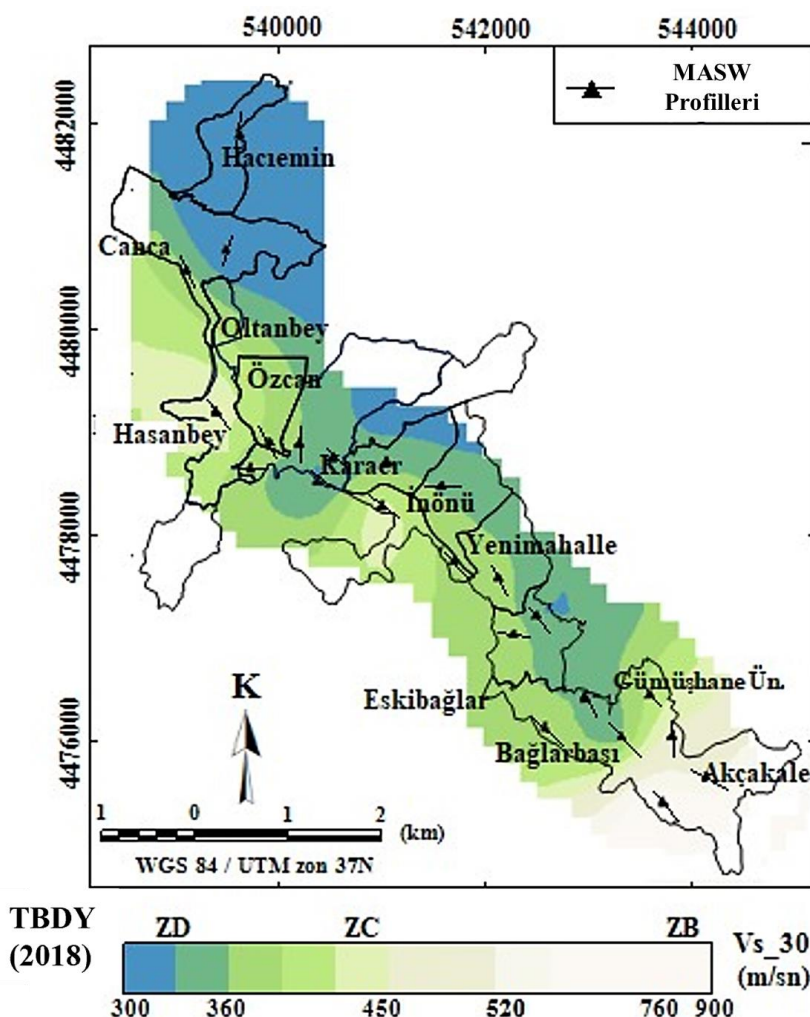
304

305 Hız modellerinden, inceleme alanındaki jeolojik formasyonlara ait  $V_{S30}$  değerleri hesaplanmıştır.  $V_{S30}$  değerleri  
 306 Alibaba formasyonunda 300.2-596.5 m/sn, Gümüşhane granitoyidinde 407.2-677.2 m/sn ve alüvyon birimde  
 307 404.7 m/sn olarak belirlenmiştir. İnceleme alanına ait zemin sınıflaması Ulusal Deprem Azaltma Programı  
 308 (National Earthquake Hazards Reduction Program) [Eurocode-8 \(2004\)](#), Türkiye Bina ve Deprem Yönetmeliği  
 309 ([TBDY, 2018](#)) ve [NEHRP \(2020\)](#) kullanılarak hız değerlerine göre yapılmıştır (Tablo 2). Buna göre, MASW-  
 310 10 ve MASW-11 haricindeki diğer profillerden inceleme alanı için [Eurocode-8 \(2004\)](#)'e göre "B" grubu,  
 311 [TBDY \(2018\)](#)'e göre "ZC" ve [NEHRP \(2020\)](#)'e göre "C-CD" zemin sınıfı tanımlaması yapılabilir.  
 312

313 **Tablo 2.** MASW profillerinden 30 m derinlik için elde edilen  $V_{S30}$  değerleri ve zemin sınıflaması  
 314 *Table 2. Soil classification and  $V_{S30}$  values obtained from MASW profiles for 30 m depth*  
 315

Profil	$V_{S30}$ (m/sn)	Eurocode-8 (2004)	TBDY (2018)	NEHRP (2020)
MASW-1	300.2	B	ZC	C
MASW-2	336.4	B	ZC	C
MASW-3	596.5	B	ZC	C
MASW-4	471.7	B	ZC	CD
MASW-5	407.2	B	ZC	C
MASW-6	432.8	B	ZC	CD
MASW-7	475.7	B	ZC	C
MASW-8	496.7	B	ZC	CD
MASW-9	510.5	B	ZC	BC
MASW-10	423.2	C	ZD	CD
MASW-11	677.2	C	ZD	D

316 Tüm profillerden elde edilen ortalama hızlar kullanılarak, Gümüşhane ili merkez ilçesi için  $V_{S30}$  dağılımına  
 317 göre zemin sınıfı haritası oluşturulmuştur (Şekil 13). Hacıemir ve Canca mahallelerinde en düşük  $V_{S30}$   
 318 değerleri ile [TBDY \(2018\)](#)'e göre en zayıf zemin sınıfını (ZD) oluşturmaktadır. Harşit nehri boyunca düşük  
 319  $V_{S30}$  değerleri görülmürken, nehir seviyesinden yukarıya doğru gidildikçe  $V_{S30}$  değeri artış göstermektedir.  
 320 Dolayısıyla zayıf zemin özelliğine sahip alüvyon birimlerin kumlu, çakılı, gevşek ve suya doygun özellikte  
 321 olması hız değerindeki bu azalmanın nedeni olarak kabul edilebilir.  
 322



324 **Şekil 13.** İnceleme alanına ait  $V_{S30}$  haritası ve zemin sınıflaması  
 325 *Figure 13.  $V_{S30}$  map and soil classification of the investigation area*  
 326  
 327

328

**5. Tartışma ve sonuçlar***5. Discussion and conclusions*

329

330

331

Bu çalışmada, Gümüşhane ili merkez ilçesinin yerel zemin etkileri MASW ve HVSR yöntemleriyle belirlenmiştir. Tek istasyonda uygulanan mikrotremor yönteminden merkez ilçeye ait baskın frekans, baskın periyot ve bölge için büyütme potansiyelini ifade eden yatay/düşey spektral oranlar elde edilmiştir. MASW, uygulamasıyla incelenen alana ait  $V_{S30}$  değerleri hesaplanarak Eurocode-8 (2004), TBDY (2018) ve NEHRP (2020)'e göre zemin sınıfları tanımlanmıştır. Bulunan sonuçlardan merkez ilçe için yer etkisine dayalı mikrobölgelendirme haritaları hazırlanarak farklı tehlike potansiyeline sahip alanlar belirlenmiştir.

332

333

334

335

336

337

Gümüşhane ili merkez ilçesinde 279 tek istasyonda HVSR yönteminden elde edilen baskın frekans ve baskın periyot değerleri sırasıyla 1.21-13.40 Hz ile 0.07-0.64 sn arasında değişim göstermektedir. Bununla birlikte çalışma alanı için belirlenen büyütme potansiyeli 1.12-9.76 arasındadır. Bu değerlere göre, Hasanbey, Oltanbey, Özcan, Bağlarbaşı ve Akçakale mahalleleri yüksek baskın frekans değerleri sergilerken, İnönü mahallesi ve Yenimahalle çalışma alanı içerisindeki en düşük baskın frekans değerlerine sahiptirler. Çalışma alanı büyütme potansiyeli açısından Hasanbey ve Özcan mahallelerinde en düşük seviyelerde iken, en yüksek büyütme potansiyeline sahip alanlar çoğunlukla Harşit nehri boyunca elde edilmiştir.

338

339

340

341

342

343

344

345

Çalışma alanında gerçekleştirilen MASW ölçümleri ile 30 metre derinliğe kadar olan ortalama S dalga hızları belirlenmiştir. Bu sonuçlara göre  $V_{S30}$  değerleri 300.2-677.2 m/sn aralığında değişmektedir. Bu hız değerleri kullanılarak çalışma alanına ait yapılan zemin sınıflaması Eurocode-8 (2004)'e göre "B", TBDY (2018)'e göre "ZC" ve NEHRP (2020)'e göre "C-CD" grubunda yer almaktadır. Çalışma alanı için oluşturulan  $V_{S30}$  değerleri dağılım haratasına göre düşük hız değerleri Harşit nehri civarında gözlemlenirken, bu seviyeden yukarıya gidildikçe hız değerlerinin arttığı görülmüştür.

352

353

354

355

356

357

358

359

360

Mikrotremorlardan elde edilen zemin parametreleri ile MASW'den belirlenen  $V_{S30}$  değerleri inceleme alanının jeolojik yapısıyla ve birbirleriyle uyumlu sonuçlar sergilemiştir. Genel anlamda  $V_{S30}$  değerlerinin yüksek olduğu alanlar, yüksek baskın frekans ve düşük büyütme potansiyellerine sahipken, daha düşük  $V_{S30}$  değerlerine sahip alanlarda düşük baskın frekanslara karşılık yüksek büyütme potansiyelleri gözlemlenmiştir. Bununla birlikte, hesaplanan zemin parametreleri de tanımlanan zemin sınıfları ile örtüşmektedir. Bu çalışma ile elde edilen verilerin birbirleriyle ve jeolojik yapıyla olan uyumu HVSR ve MASW yöntemlerinin Gümüşhane ili merkez ilçesi için uygulanabilir olduğunu göstermiştir.

361

362

363

364

365

366

367

Gümüşhane, sismotektonik açıdan durgun bir bölge olarak kabul edilmekte, ancak Kelkit Çayı vadisinin Kuzey Anadolu Fay Zonu (KAFZ)'na olan yakınlığı sebebiyle olusabilecek herhangi bir deprem tehdit edici olabilir. Böyle bir deprem hareketi, özellikle Harşit nehri boyunca, zayıf zeminer üzerine inşa edilmiş yapılarda hasarlar meydana getirebilir. Bu sebeple, afet risklerini en aza indirgeyebilmek adına yeni yerleşimlerin kurulacağı alanlarda herhangi bir yer hareketi meydana gelmeden yerel zemin koşullarının belirlenmesi çok önemli ve gereklidir.

368

**Teşekkür***Acknowledgement*

369

370

371

372

373

374

Bu çalışma Karadeniz Teknik Üniversitesi Bilimsel Araştırma Projeleri Koordinasyon birimi tarafından 2009.112.007.3 numaralı proje ile desteklenmiştir. Destekleri için KTÜ Bilimsel Araştırma Projeleri Koordinasyon birimine teşekkür ederim.

375

**Yazar katkısı***Author contribution*

376

377

378

379

380

381

382

383

384

Bu makale KTÜ Fen Bilimleri Enstitüsü Jeofizik Mühendisliği Anabilim Dalı'nda Prof. Dr. Nilgün SAYIL'ın danışmanlığında Yasemin BEKER USTA tarafından yapılan "Gümüşhane ve Çevresinin Jeofizik Verilerle Yer Etkisinin İncelenmesi ve Mikrobölgelendirme Çalışması" başlıklı Doktora tezinin bir parçasıdır.

- 385     **Etik beyanı**  
 386     *Declaration of ethical code*
- 387
- 388     Bu makalenin yazarları, bu çalışmada kullanılan materyal ve yöntemlerin etik kurul izni ve/veya yasal-özel  
 389     izin gerektirdiğini beyan etmektedirler.
- 390
- 391     **Çıkar çatışması beyanı**  
 392     *Conflicts of interest*
- 393
- 394     Yazarlar herhangi bir çıkar çatışması olmadığını beyan ederler.
- 395
- 396     **Kaynaklar**  
 397     *References*
- 398
- 399     Acar, İ., Kamacı, Z., & Kapucu, S. (2022). *Ödemiş kuzey bölgesinin imar ve bölge planlama alanı incelenmesi*, Süleyman  
 400     Demirel Üniversitesi Fen Bilimleri Enstitüsü Dergisi, 26(1), 83-89. <https://doi.org/10.19113/sdufenbed.959180>
- 401
- 402     Akin, Ö., & Sayıl, N. (2016). *Site characterization using surface wave methods in the Arsin-Trabzon province, NE*  
 403     *Turkey*. Environmental Earth Sciences, 75, 1-17. <https://doi.org/10.1007/s12665-015-4840-6>
- 404
- 405     Akın, Ö. (2020). *Trabzon – Ortahisar ilçesi güneyindeki heyelanlı alanların zeminözelliklerinin aktif ve pasif yüzey*  
 406     *dalgası yöntemleriyle incelenmesi* [Doktora Tezi, Karadeniz Teknik Üniversitesi Fen Bilimleri Enstitüsü].
- 407
- 408     Akkaya, İ., & Özvan, A. (2019). *Site characterization in the Van settlement (Eastern Turkey) using surface waves and*  
 409     *HVSR microtremor methods*. Journal of Applied Geophysics, 160, 157-170.  
 410     <https://doi.org/10.1016/j.jappgeo.2018.11.009>
- 411
- 412     Alkan, H., Çınar, H., Oreshin, S., & Vinnik, L. (2019). *Investigation of the crustal and upper-mantle structure of the*  
 413     *eastern Pontides orogenic belt (NE, Turkey): a receiver-function study*. Journal of Seismology, 23, 473-491.  
 414     <https://doi.org/10.1007/s10950-019-09818-1>
- 415
- 416     Arrahman, M. A., Tohari, A., & Perwita, C. A. (2023). Seismic microzonation for Lembang fault hazard area in West  
 417     Bandung Regency based on microtremor measurement. In *IOP Conference Series: Earth and Environmental*  
 418     *Science* (Vol. 1288, No. 1, p. 012018). IOP Publishing.
- 419
- 420     Ateş, E., & Uyanık, O. (2019). *Jeofizik yöntemler ile yer ve yapı etkileşimi*. Süleyman Demirel Üniversitesi Fen Bilimleri  
 421     Enstitüsü Dergisi, 23, 46-60. <https://doi.org/10.19113/sdufenbed.430906>
- 422
- 423     Caielli, G., de Franco, R., Di Fiore, V., Albarello, D., Catalano, S., Pergalani, F., ... & Vassallo, M. (2020). Extensive  
 424     surface geophysical prospecting for seismic microzonation. Bulletin of Earthquake Engineering, 18, 5475-5502.
- 425
- 426     Chopra, S., Choudhury, P., Nikam, R., Chaudhary, P., Limbachiya, H., & Joshi, V. (2023). Use of Geophysical  
 427     Techniques in Seismic Hazard Assessment and Microzonation. In *Geohazards: Analysis, Modelling and*  
 428     *Forecasting* (pp. 73-87). Singapore: Springer Nature Singapore.
- 429
- 430     Dikmen, Ü. (2009). *Statistical correlations of shear wave velocity and penetration resistance for soils*. Journal of  
 431     *Geophysics and Engineering*, 6(1), 61-72. <https://doi.org/10.1088/1742-2132/6/1/007>
- 432
- 433     Dokuz, A. (2000). *Yusufeli (Artvin-Turkey) yörenesinin jeolojisi, jeotektoniği, magmatik- metamorfik kayacların*  
 434     *jeokimyası ve petrojenezi* [Doktora Tezi, Karadeniz Teknik Üniversitesi Fen bilimleri Enstitüsü].
- 435
- 436     Dokuz, A., & Tanyolu, E. (2006). *Geochemical constraints on the provenance, mineral sorting and subaerial weathering*  
 437     *of lower jurassic and upper cretaceous clastic rocks of the Eastern Pontides, Yusufeli (Artvin), NE Turkey*. Turkish  
 438     *Journal of Earth Sciences*, 15(2). <https://journals.tubitak.gov.tr/earth/vol15/iss2/4>
- 439
- 440     Eurocode 8 (2004). *Design of structures for earthquake resistance – part 1: general rules, seismic actions and rules for*  
 441     *buildings, authority: The European Union PerRegulation 305/2011, Directive 98/34/EC, Directive 2004/18/EC*.
- 442
- 443     Eyuboglu, Y., Dilek, Y., Bozkurt, E., Bektas, O., Rojay, B. & Şen, C. (2010). *Structure and geochemistry of an alaskan-*  
 444     *type ultramafic-mafic complex in the Eastern Pontides, NE Turkey*. Gondwana Research, 18(1), 230-252.  
 445     <https://doi.org/10.1016/j.gr.2010.01.008>
- 446

- 447 Fadli, D. I., Awaliyah, I. A., Hadi, A. I., Farid, M., Akbar, A. J., & Refrizon, R. (2023). Microzonation Site Effects and  
448 Shear Strain during Earthquake Induced Landslide Using HVSR Measurement in Ulu Mana Sub-District, South  
449 Bengkulu Regency Indonesia. *Jurnal Penelitian Pendidikan IPA*, 9(2), 592-599.
- 450  
451 Geopsy (2022, 10 Eylül). <https://www.geopsy.org/download.php>
- 452  
453 Güven, İ.H. (1993). Doğu Pontidlerin 1/25 000 ölçekli jeolojisi ve komplikasyonu, Maden Tetkik Arama, Ankara  
454 (yayınlanmamış)
- 455  
456 Güven, İ. T. (2022). *Seismic vulnerability indices for ground in Derince-Kocaeli (NW Turkey)*. *Environmental Earth  
457 Sciences*, 81(5), 167. <https://doi.org/10.1007/s12665-022-10288-x>
- 458  
459 Güzel, M. (2009). *Mikrobölgeleme çalışmalarında jeolojik, jeofizik, jeoteknik verilerin birlikte kullanımı (kuzey Adana  
460 örneği)* [Doktora Tezi, Çukurova Üniversitesi Fen Bilimleri Enstitüsü].
- 461  
462 Kandemir, R. (2004). *Sedimentary characteristics and depositional conditions of lower- middle jurassic Şenköy  
463 Formation in and around Gümüşhane* [Doktora Tezi (yayınlanmamış), Karadeniz Teknik Üniversitesi Fen  
464 Bilimleri Enstitüsü].
- 465  
466 Keskinsezer, A., & Dağ, E. (2019). *Investigating of soil features and landslide risk in Western-Atakent (İstanbul) using  
467 resistivity, MASW, Microtremor and boreholes methods*. *Open Geosciences*, 11(1), 1112-1128.  
468 <https://doi.org/10.1515/geo-2019-0086>
- 469  
470 Kim, J., Park, D., Nam, G., & Jung, H. (2024). Shear-Wave Velocity Model from Site Amplification Using Microtremors  
471 on Jeju Island. *Applied Sciences*, 14(2), 795.
- 472  
473 Miller, R. D., Xia, J., Park, C. B., & Ivanov, J. M. (1999). *Multichannel analysis of surface waves to map bedrock*. *The  
474 Leading Edge*, 18(12), 1392-1396. <https://doi.org/10.1190/1.1438226>
- 475  
476 Nakamura, Y. (1989). A method for dynamic characteristics estimation of subsurface using microtremor on the ground  
477 surface. *Railway Technical Research Institute, Quarterly Reports*, 30(1), 25-33.
- 478  
479 NEHRP (2020). *National earthquake hazards reduction program, recommended seismic provisions for new buildings  
480 and other structures (FEMA P-2082-1)*, 2020 edition, Vol.1, Part 1: Provisions and Part 2: Commentary.
- 481  
482 Özdağ, Ö., Akgün, M., & Gönenç, T. (2020). *Determining bedrock of the northern part of Izmir Bay, western Anatolia,  
483 using a combination of microtremor, ESPAC, VES, and microgravity methods*. *Bollettino di Geofisica Teorica ed  
484 Applicata*, 61(4). Doi: 10.4430/bgta0313
- 485  
486 Öztürk, S., Beker, Y., Sarı, M., & Pehlivan, L. (2021). *Estimation of ground types in different districts of Gümüşhane  
487 province based on the ambient vibrations H/V measurements*. *Sigma Journal of Engineering and Natural  
488 Sciences*, 39(4), 374-391. Doi: 10.14744/sigma.2021.00026
- 489  
490 Park, C. B., Miller, R. D., & Xia, J. (1999). *Multichannel analysis of surface waves*. *Geophysics*, 64(3), 800-808.  
491 <https://doi.org/10.1190/1.1444590>
- 492  
493 Pelin, S. (1977). *Alucra (Giresun) güneydoğu yörenesinin petrol olanakları bakımından jeolojik incelenmesi*. K.T.Ü yayını,  
494 13, 1-103.
- 495  
496 Pornsopin, P., Pananont, P., Furlong, K. P., Chaila, S., Promsuk, C., Kamjudpai, C., & Phetkongsakul, K. (2024). *Seismic  
497 Microzonation Map of Chiang Mai Basin, Thailand*. *Trends in Sciences*, 21(3), 7370-7370.
- 498  
499 Putti, S. P., & Satyam, N. (2020). *Evaluation of site effects using HVSR microtremor measurements in Vishakhapatnam  
500 (India)*. *Earth Systems and Environment*, 4, 439-454. <https://doi.org/10.1007/s41748-020-00158-6>
- 501  
502 SeisImager (2022, 2 Haziran). <https://www.geometrics.com/software/seisimager-sw/>
- 503  
504 SESAME, (2005). *Guidelines for the implementation of the H/V spectral ratio technique on ambient vibrations  
505 measurements, processing and interpretation, European project*.
- 506  
507 Tüdeş, Ş. (2001). *Gümüşhane kenti ve yakın çevresinin yerlesime uygunluk açısından araştırılması* [Doktora Tezi,  
508 Karadeniz Teknik Üniversitesi Fen Bilimleri Enstitüsü].
- 509

- 510 Taş N., Okumuş E., Öner Ş., Köksal C., İcat M. Y., Tanış S. & Aslan N. (2003). *Gümüşhane İl Çevre Durum Raporu*,  
511 *Gümüşhane Valiliği İl Çevre ve Orman Müdürlüğü*, 179.
- 512 Tokel, S. (1972). Stratigraphical and volcanic history of the Gümüşhane region, NE, Turkey [Doktora tezi  
513 (yayınlanmamış), University College].
- 514 515 Türkiye bina ve deprem yönetmeliği. (2018). *Afet ve Acil Durum Yönetimi Başkanlığı*.
- 516 517 Wibowo, N. B., Fathani, T. F., Pramumijoyo, S., & Marliyani, G. I. (2023). Microzonation Of Seismic Parameters In  
518 Geological Formation Units Along The Opak River Using Microtremor Measurements. *Geomatic  
519 Journal*, 25(110), 208-219.
- 520 521 Xia, J., Miller, R. D., & Park, C. B. (1999). Estimation of near-surface shear-wave velocity by inversion of Rayleigh  
522 waves. *Geophysics*, 64(3), 691-700. <https://doi.org/10.1190/1.1444578>
- 523 524 GCMT-Global CMT Catalog Search. (2024, Şubat, 18) <https://www.globalcmt.org/CMTsearch.html>
- 525 526 KOERİ, Boğaziçi Üniversitesi Kandilli Rasathanesi. (2024, Şubat 18) <http://udim.koeri.boun.edu.tr/>
- 527 528 USGS, The U.S. Geological Survey Works. (2024, Şubat 17) <https://www.usgs.gov/>
- 529